

**پیش‌بینی عددی نویز میدان نزدیک و آکوستیک برگشتی حاصل از جت صوتی در شرایط کاری مختلف\***

مقاله پژوهشی

رامین خوشنویسان<sup>(۱)</sup>سبحان امامی کوپائی<sup>(۲)</sup>

**چکیده** نویز (صوت) حاصل از جت مافوق صوت آشفته خروجی از نازل‌های همگرا یا همگرا-واگرا اثرات مخربی بر محیط و انسان‌های اطراف دارد. برای جلوگیری از این اثرات مخرب، سازوکارهای تولیدکننده نویز در میدان نزدیک و پشت نازل باید به خوبی فهم شود. در این پژوهش یک نازل خفه شده و صدای ناشی از آن به صورت دویعدی و با استفاده از رویکرد URANS و مدل آشفتگی  $k-\epsilon$  Realizable مطالعه شده است. صدای حاصل از این جت آشفته در میدان نزدیک و پشت نازل با حل معادله و یلیامز-هاوکنینگر به دست آمده است. تأثیر پارامترهای فشار و دمای خروجی از نازل روی نویز حاصل از جت آشفته بررسی شده است. تغییر دما، اثرات قابل توجهی روی لایه برشی و طول هسته پتانسیل جت دارد. نویز ثبت شده در نزدیک دهانه نازل و پشت نازل نشان می‌دهد که حضور سلول‌های ضربه‌ای در پلوم جت بر امواج آکوستیکی منتشرشده به سمت بالادست اثر داشته است و باعث به وجود آمدن نویز پهن‌بند ناشی از سلول ضربه‌ای می‌شود. این نویز برای جت سرد با دمای ۳۰۰ کلوین مقداری در حدود ۱۰۰ دسی‌بل و برای جت گرم با دمای ۶۰۰ کلوین مقداری در حدود ۱۰۵ دسی‌بل دارد. با افزایش فشار نازل به دوبرابر مقدار اولیه، نویز ثبت شده به حدود ۱۲۴ دسی‌بل رسیده است.

**واژه‌های کلیدی** جت آشفته، نازل خفه شده، نویز اختلاط آشفته، نویز پهن‌بند ناشی از موج ضربه‌ای، سطح فشار صوت.

**مقدمه**

اساساً جت به عنوان جریانی از سیال در نظر گرفته می‌شود که از مجرای (دهانه نازل یا یک روزنه هندسی) خارج و به ناحیه نسبتاً بزرگی وارد می‌شود که حاوی سیال منسجم است. جت (گاز یا مایع) با توجه به فشار بالادست با سرعت‌های مختلف (مادون صوتی، صوتی یا مافوق صوتی) از نازل طراحی شده خارج می‌شود [1]. جت سیال مقدار مومنتوم بسیار زیادی در مقایسه با سیال موجود در محیط اطرافش دارد؛ به همین دلیل زمانی که جریان جت در میدان شروع به حرکت می‌کند، ذرات سیال موجود در آن با سرعت بسیار بیشتری نسبت به ذرات سیال محیط حرکت می‌کنند و بنابراین ذرات سیال

محیط نمی‌توانند تغییرات ناگهانی در مسیر را به جریان پایین دست منتقل کنند. از این رو سیال موجود در محیط نمی‌تواند سریعاً خود را با آنچه که در جلو خود می‌بیند هماهنگ کند. در نتیجه تغییرات بسیار زیادی در مومنتوم و سایر خواص سیال محیط به وجود می‌آید [2,3]. جت‌های مافوق صوت در صنعت امروزی کاربردهای بسیار فراوانی دارند که از آن جمله می‌توان به موتورهای جت هواپیماهای نظامی و تجاری در صنعت هوانوردی، جت‌های مافوق صوت که در ماشین‌کاری‌های امروزی برای خنک‌کاری استفاده می‌شود و کاربران با آن‌ها در تماس مستقیم هستند، جت‌های مافوق صوتی که در فرایندهای پوشش‌دهی سطوح به کمک روش‌های اسپری گرم و سرد ایجاد می‌شوند [4] یا حتی به

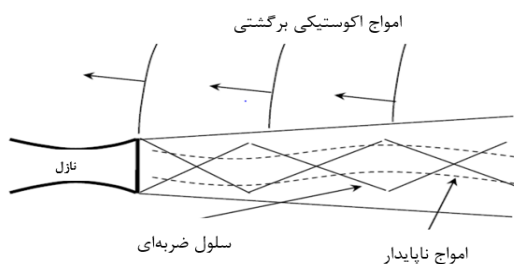
\* تاریخ دریافت مقاله ۱۳۹۹/۱۲/۱۸ و تاریخ پذیرش آن ۱۴۰۰/۳/۱۱ می‌باشد.

(۱) دانشجوی کارشناسی ارشد، گروه مهندسی مکانیک، واحد نجف‌آباد، دانشگاه آزاد اسلامی، نجف‌آباد، ایران.

(۲) نویسنده مسئول: استادیار، گروه مهندسی مکانیک، واحد نجف‌آباد، دانشگاه آزاد اسلامی، نجف‌آباد، ایران.

مانند شکل (۱) در پلوم (Plume) جت شکل می‌گیرد. این موضوع باعث انتشار ۲ نوع صدای اضافی ناشی از موج ضربه‌ای می‌شود. دسته اول که دارای بسامدهای مجزا هستند، صداهای ناهنجار یا جیغ‌مانند (Screech tones) و دسته دوم نویز پهن‌بند ناشی از موج ضربه‌ای (Broadband shock associated noise) نامیده می‌شوند [8]. بنابراین برای جت‌های مافوق‌صوتی که انبساط کاملاً ایدئال را تجربه نمی‌کنند، نویز جت از ۳ بخش اساسی شامل نویز اختلاط آشفته، نویز پهن‌بند ناشی از موج ضربه‌ای و صداهای ناهنجار تشکیل می‌شود.

در شکل (۱) ساختار جت مافوق‌صوت فرومنبسط خروجی از یک نازل همگرا-واگرا مشاهده می‌شود. یک ساختار سلول موج ضربه‌ای شبه‌تناوبی در هسته جت فرومنبسط شکل گرفته است. در لبه نازل، لایه برشی نازکی وجود دارد که تحت تأثیر تحریک‌های بیرونی است. اختلالات آکوستیکی (امواج فشاری نوسانی) به سمت لبه نازل حرکت کرده و باعث برانگیختگی موج‌های ناپایدار می‌شود. این امواج به محض دریافت انرژی از جریان متوسط در پلوم جت رشد و به سمت پشت نازل نیز حرکت می‌کنند. بازگشت امواج باعث ایجاد نوسانات فشاری و در نهایت منجر به تولید امواج آکوستیکی خواهد شد.



شکل ۱ وجود سلول‌های ضربه‌ای در جریان جت فرومنبسط و ایجاد امواج صوتی برگشتی [9].

همچنین در قسمت پلوم جت در سلول موج ضربه‌ای چهارم یا پنجم دامنه امواج ناپایدار به حد کافی بزرگ می‌شوند و می‌توانند روی ساختار سلول موج ضربه‌ای تأثیر بگذارند. این اندرکنش ناپایا در نهایت منجر

جت‌های بادی و آبی نیز اشاره کرد. چالش اساسی به هنگام استفاده از جت‌های مافوق‌صوت بحث آلودگی صوتی و صدمات ناشی از امواج صوتی روی سازه‌ها و انسان‌هاست. جت‌های مافوق‌صوت معمولاً با صداهای بسیار زیاد و گوش‌خراشی همراه هستند که عموماً بر سلامت جسم و روان انسان و سایر موجودات تأثیر می‌گذارند. در چند دهه اخیر مطالعات زیادی روی مبحث صدای جت‌های مافوق‌صوت و عوامل مؤثر بر آن انجام گرفته است. بر اساس این مطالعات آلودگی صوتی ناشی از جت، ارتباط مستقیمی با ساختار جریان آشفته دارد [5]. شناخت بیشتر و عمیق‌تر این ساختار پیچیده به درک عوامل و منابع ایجاد نویز در این گونه وسایل منجر می‌شود و بر این اساس می‌توان به راهکارهایی در جهت کاهش نویز تولیدی اندیشید. لازم به ذکر است، تأثیر این امواج صوتی روی انسان می‌تواند به اختلالاتی نظیر از دست دادن تکلم و حافظه کوتاه‌مدت منجر شود [6]؛ چرا که میزان صوت مجاز برای گوش هر انسان مقدار ۱۶۰ دسی‌بل است. در صورت بیشتر شدن این مقدار به بالای ۸۰ دسی‌بل به‌ازای افزایش هر ۵ دسی‌بل ساعت کاری کاربران نصف می‌شود؛ زیرا قرارگیری در چنین مکان‌هایی باعث گوش‌درد خواهد شد [7].

جریان‌های جت آشفته، شامل ساختارهای آشفته کوچک و بزرگ مقیاس بوده است که هر دو این ساختارها قادر به تولید نویز هستند. اگرچه در جت‌های مادون‌صوت نقش ساختارهای کوچک مقیاس در تولید نویز غالب است، در جت‌های مافوق‌صوت نقش ساختارهای بزرگ مقیاس اهمیت بیشتری پیدا می‌کند؛ به‌طوری‌که بخش غالبی از صدا مستقیماً در اثر ساختارهای بزرگ آشفته حاصل از جریان جت (نویز ناشی از اختلاط آشفته) تولید می‌شود [8]. از آنجایی که اغلب جت‌های مافوق‌صوت در عمل به‌صورت ایدئال منبسط (انبساط کامل) نمی‌شوند، یک ساختار سلول موج ضربه‌ای شبه‌متناوب (Semi periodic) یا متناوب،

فرومنبسط با نازلی با ضخامت‌های لبه مختلف بررسی شد. چندین ضخامت برای لبه نازل در نظر گرفته شد و در دمای ثابت تأثیر لبه نازل بر امواج صوتی تولیدشده به صورت تجربی مطالعه شد. اندازه‌گیری‌های آکوستیکی میدان نزدیک نشان می‌دهند دامنه و بسامد حالت‌های ناهنجار به ضخامت لبه نازل بستگی دارد. شن و تام [14] به شبیه‌سازی عددی نویز ناشی از جت آشفته پرداختند. نتایجی که از این شبیه‌سازی به دست آمد، با نتایج آزمایشگاهی تطابق خوبی داشت. این پژوهش نشان داد که با نرم‌افزارهای تجاری نیز می‌توان نتایج معتبری به دست آورد و عوامل واگرایی و ضعف مدل‌های عددی با دقت در شبکه‌بندی محاسباتی و در نظر داشتن مقیاس‌های بزرگ و کوچک نوسانات جریان می‌تواند به کمترین مقدار خود برسد. خاوران و همکاران [15] در بررسی عددی خود نویز اختلاط آشفته حاصل از یک جت مافوق صوت در فشار طراحی را محاسبه کردند. نتایج آن‌ها نشان داد شبیه‌سازی عددی با استفاده از مدل‌های معمول اغتشاشی و آکوستیکی تخمین نسبتاً مناسبی از نویز ایجادشده به دست می‌دهد. همچنین پیش‌بینی طیف نویز به تخمین دقیق از عدد اشتروال وابسته است.

بدونی و همکاران [16] در مطالعه‌ای نویز پهن‌بند ناشی از موج ضربه‌ای در جت‌های متقارن محوری را با استفاده از رویکرد شبیه‌سازی گردابه‌های بزرگ (LES) بررسی کردند. آن‌ها یک جت غیرگرم و خارج از شرایط طراحی (جت فرومنبسط) را با یک جت در شرایط طراحی (با انبساط کامل) مقایسه کردند. نتایج نشان داد که لایه‌های برشی جت خارج از شرایط طراحی به اندازه یک قطر پایین‌دست‌تر از جتی که در شرایط طراحی عمل می‌کند ادغام شده (طول هسته پتانسیل بیشتر است) و سطح قلّه نوسانات سرعت برای جت خارج از نقطه طراحی با کاهش ملایمی (در حدود

به تولید امواج آکوستیکی در میدان نزدیک و دور نازل و همچنین در پشت آن می‌شود. این اندرکنش‌ها، لایه اختلاطی جت در دهانه نازل را تحریک می‌کند که این خود امواج ناپایای جدیدی را تولید می‌کند که ضمن بسته شدن این چرخه همواره ادامه می‌یابد [8,9].

پاول [10] در پژوهشی تجربی به بررسی مکانیزم نویز حاصل از جت خفه‌شده پرداخت. مطابق این تحقیق نویز حاصل از اختلاط آشفته یک صدای ناهنجار یا جیغ‌مانند است. این نوع نویز، حاکم بر مکانیزم جت خفه‌شده است. موریس [11] در پژوهشی مدلی را برای ساختار آشفته یک جت که منابع آکوستیکی جریان محسوب می‌شوند، ارائه کرد. در این تحقیق ساختار آشفته به عنوان توده‌ای که کمترین نوسانات پایدار را در هر موقعیت محوری و جهتی دارد، توصیف شده است. همچنین این ساختار به صورت نقطه‌به‌نقطه در طول خط جریان جت و تأثیرات این ساختار در تولید نویز بررسی شده است. یافته‌های این تحقیق نشان می‌دهد که این ساختار ناپایدار با ترکیب شدن پی‌درپی با ساختار محیط باعث ایجاد یک آبشار انرژی در لایه‌های جت می‌شود و این لایه‌ها نقش بسزایی در تولید نویز دارند. تام و تانا [12] در سال ۱۹۸۲ میلادی یکی از پژوهش‌های مهم در زمینه نویز ناشی از موج ضربه‌ای در نازل‌های همگرا-واگرا را منتشر کردند. آن‌ها به مطالعه تجربی و تئوری مشخصه‌های نویز ناشی از موج ضربه‌ای حاصل از یک جت فرومنبسط مافوق صوت در طیف وسیعی از شرایط عملیاتی پرداختند. آن‌ها معتقدند که نویز پهن‌بند در اثر اندرکنش ضعیف اما منسجم ساختارهای بزرگ مقیاس جریان آشفته در پایین دست جریان، در لایه اختلاطی جت و تقریباً در نزدیکی سیستم سلول ضربه‌ای تناوبی ایجاد شده است. پوتن و سینر [13] به بررسی اثرات لبه خروجی نازل بر پلوم جت پرداختند. در این تحقیق انتشار نویز و لایه برشی اولیه حاصل از یک جت سرد

صوتی دایروی می‌شود که به سمت بالادست منتشر می‌شوند. این امواج صوتی با تابش صداهای ناهنجار رابطه دارند.

لیو و همکاران [20] مطالعه‌ای عددی روی ویژگی‌های منابع ایجاد نویز در یک جریان جت فرومنبسط انجام داده‌اند. مطابق این تحقیق ناحیه منبع نویز میدان نزدیک را می‌توان به ۲ بخش تقسیم کرد: منطقه اول که در فاصله ۱۵ برابری قطر (یک‌ونیم‌برابری طول هسته پتانسیل جت) قرار دارد، امواج در حال انتشار به سمت پایین دست و بالادست را تولید می‌کند و منطقه دوم که در پایین دست منطقه اول قرار دارد، عمدتاً امواج در حال انتشار به سمت پایین دست را تولید می‌کند. شدت آشفته‌گی و شدت نوسانات فشار نشان می‌دهد که مقیاس‌های کوچک بیشتر در ناحیه نزدیک خروجی نازل و مقیاس‌های بزرگ بیشتر در جریان پایین دست تأثیر دارند. البته به صورت تدریجی از بسامدهای پراثرژی در میدان نزدیک کاسته می‌شود. آن‌ها در مطالعه دیگری ویژگی‌های نویز در جریان‌های جت فرا منبسط را بررسی کردند. در جت‌های فرامنبسط، افزایش دمای جت، شدت صداهای ناهنجار را کاهش می‌دهد و هارمونیک‌های ناهنجار را از بین می‌برد. آن‌ها نشان داده‌اند که صداهای ناهنجار قوی تأثیر زیادی روی جریان و آشفته‌گی جت دارد. همچنین افزایش دمای جت، نویز ساطع شده از موج ماخ را که با امواج ناپایدار تولید شده است، افزایش می‌دهد. هرچه دمای جت افزایش می‌یابد، مکان قله نویز به سمت جریان بالادست حرکت می‌کند. آن‌ها عنوان کرده‌اند که منبع تولید صدای ناهنجار، امواج فشاری شدت بالا هستند [21]. گوجون و بوگی [22] مطالعه‌ای عددی روی جریان و میدان‌های صوتی نزدیک جت دایروی آزاد فرومنبسط که تولیدکننده ۲ صدای ناهنجار است انجام دادند. میدان‌های فشار فیلترشده در بسامدهای ناهنجار نشان‌دهنده حضور

۶ درصد) همراه است. میدان فشار نزدیک برای جت خارج از شرایط طراحی تحت غلبه تابش موج ماخ در قسمت‌های پایین دست میدان جریان بوده اما حالت نهایی، مشابه جت طراحی است. اروین و سینها [17] در پژوهشی با جفت کردن رویکرد اغتشاشی LES و مدل آکوستیکی (ویلیامز-هاوکینگز) FW-H، نویز میدان دور و نزدیک یک جت مافوق صوت را بررسی کردند. در این مطالعه از نویز جریان بالادست چشم‌پوشی شده که باتوجه به این که نویز از تاریخچه خود نیز اثر می‌گیرد، محل چالش و بحث است. لیو و همکاران [18] در تحقیقی به بررسی عددی سه بعدی جریان‌های جت مافوق صوت با استفاده از رویکرد LES پرداختند. نویز دور دست حاصل از جت با یک روش محاسباتی آیروآکوستیکی که داده‌های جریان ناپایای میدان نزدیک حاصل از LES را با یک روش انتگرال سطح آکوستیکی پیوند می‌دهد، پیش‌بینی شده است. محاسبه دقیق صدای ساطع شده از جریان‌های آشفته و ساختار سلول موج ضربه‌ای نیازمند حل دقیق جریان آشفته و ساختارهای موج ضربه‌ای است. در نتیجه در این کار از یک روش گسسته‌سازی مرتبه بالا بدون اتلاف عددی استفاده شده است. علت این امر اولاً آن است که معمولاً دامنه میدان صدا چندین مرتبه بزرگی کوچک‌تر از میدان آیرودینامیکی است و ثانیاً به فرض استفاده از روش‌های گسسته‌سازی مرتبه پایین نیاز به شبکه به شدت ریزتری برای حل دقیق ساختارهای جریان آشفته است. شولز و همکاران [19] در مطالعه‌ای به شبیه‌سازی عددی مستقیم (DNS) صداهای ناهنجار حاصل از جت‌های مافوق صوت مسطح پرداخته‌اند. در مطالعه آن‌ها مشخص شد که موج ضربه‌ای شکل گرفته در سلول ضربه‌ای، حرکت دورانی دارد درحالی که لبه‌های موج ضربه‌ای از کنار نواحی کم رتیسیتی لایه برشی از پلوم جت جدا و وارد فضای محیط می‌شود. این پدیده سبب تولید امواج

به صورت تجربی منابع نویز جت که شامل الف) ناحیه اختلاطی جت، ب) ناحیه نزدیک به سلولهای ضربه‌ای و ج) ناحیه‌ای متشکل از اختلاط و سلولهای ضربه‌ای می‌شود را مشخص کرده‌اند. بهمن جهرمی و همکاران [26] صوت حاصل از جت برخوردی در لحظات اولیه تشکیل تا رسیدن به حالت شبه پایا را به صورت آزمایشگاهی بررسی کردند. در این پژوهش نشان داده شد که صوت حاصل از لایه برشی جت به صورت رویدادهای پرنرژی صوتی در حوزه زمان دیده می‌شوند. همچنین مشخص شده است که دامنه صوت حاصل از موج ضربه‌ای اولیه با افزایش زاویه قرارگیری میکروفن نسبت به صفحه برخورد کاهش می‌یابد. مریمی و همکاران [27] با بررسی تجربی جریان ناپایای عبوری از یک استوانه، عوامل اصلی نویز ثبت شده در دوردست را شناسایی کردند. مطابق نتایج این مقاله تغییر ماهیت جریان آزاد از آرام به آشفته سبب افزایش سطح انرژی نویز باریک‌بند و پهن‌بند می‌شود. موحدی و همکاران [28] نویز آیروآکوستیکی ناشی از جریان حول مدل یک ساختمان بلند را با استفاده از روش نیمه‌تحلیلی در میدان دوردست بررسی کردند. الگوی دوقطبی انتشار صدا برای هندسه سه‌بعدی مورد مطالعه که ناشی از پدیده ریزش گردابه است، در این کار مشاهده شد. دانیل و همکاران [29] از غیریکنواختی دما برای کاهش نویز جت مافوق صوت استفاده کردند. آن‌ها نشان دادند که اغتشاشات القاشده با غیریکنواختی دما، جابه‌جایی و ساختار آشفتگی در پلوم جت را تغییر داده است و قله انرژی‌های طیفی را به سمت اعداد موج بالاتر منتقل می‌کند. موریس و پراساد [30] در پژوهش خود از فناوری تزریق سیال برای کاهش نویز تولیدشده در پلوم جت استفاده کردند. به منظور درک دقیق سازوکارهای کاهش نویز، سیالات تزریقی در شرایط مختلف مطالعه شدند. در پژوهش آن‌ها مشخص شد که حتی به کارگیری

امواج ایستای هیدرودینامیکی-آکوستیکی هستند. در میدانهای فشار<sup>۳</sup> مؤلفه آکوستیکی دیگر شامل نویز اختلاطی بسامد پایین، نویز اختلاطی بسامد بالا و نویز پهن‌بند ناشی از موج ضربه‌ای مشاهده شدند. نویز ناهنجار ناشی از یک سازوکار بازخورد آیروآکوستیکی بین انتشار ساختارهای آشفته جریان پایین دست و انتشار امواج آکوستیک جریان بالادست است. مؤلفه نویز اختلاطی به نظر ناشی از نفوذ ناگهانی ساختارهای آشفته به درون هسته پتانسیل جت، در نزدیکی انتهای آن است. نویز پهن‌بند ناشی از موج ضربه‌ای در اثر اندرکنش ساختارهای آشفته موجود در لایه‌های برشی جت با موج ضربه‌ای حاصل از سلول ضربه‌ای است. کارنام و همکاران [23] در پژوهشی اثرات دما بر مشخصه‌های جریان در نسبت فشارهای مختلف را برای یک نازل مستطیلی از طریق سرعت سنج تصویری ذرات خط جریان (Particle Image Velocimetry) بررسی کرده‌اند. مقایسه‌های صورت گرفته نشان می‌دهد که افزایش فشار نازل منجر به افزایش طول هسته پتانسیل جت شده و با افزایش دمای جت اثری عکس آن رخ می‌دهد. آیوپوف و همکاران [24] به شبیه‌سازی عددی دقت بالای جریان جت خروجی از یک نازل با نسبت فشار نازل بسیار بالا (۲۱/۸) پرداختند. این شبیه‌سازی با رویکرد ترکیبی RANS/ILES و مدل آکوستیکی FW-H در شرایط کاری خارج از نقطه طراحی صورت گرفته است. نتایج این مطالعه نشان می‌دهد که اگرچه سطح نوسانات سرعت در لایه اختلاطی وابستگی کمی به نسبت فشار نازل دارد، اما سطح نوسانات فشار در لایه اختلاطی با افزایش نسبت فشار نازل کاهش می‌یابد. در مقایسه بین ۲ نسبت فشار نازل ۲۱/۸ و ۴ مشاهده شد که در نسبت فشار ۲۱/۸ سطح نویز میدان دور در حدود ۵ تا ۷ dB بیشتر است. برین و ایوجا [25] جابه‌جاشدن منبع نویز در جت مافوق صوت را بررسی کرده‌اند. آن‌ها

از جمله‌های موجود در معادلات حاکم متوسط‌گیری زمانی می‌شود. در معادله (۱) معادله مومنتوم متوسط‌گیری شده مشاهده می‌شود [31]:

$$\frac{\partial}{\partial t}(\rho \bar{u}_i) + \frac{\partial}{\partial x_j}(\rho \bar{u}_i \bar{u}_j) = -\frac{\partial \bar{p}}{\partial x_i} + \frac{\partial}{\partial x_j}(\tau_{ij} - \rho \overline{u'_i u'_j}) \quad (1)$$

در این معادله  $u_i$  بیانگر مؤلفه سرعت در راستای  $i$ ،  $p$  فشار،  $\rho$  چگالی و  $\tau$  تنش برشی است. با اعمال فرایند متوسط‌گیری، جمله  $\rho \overline{u'_i u'_j}$  (که به تنش‌های رینولدز معروف است) در معادلات حاضر شده که نیازمند مدل‌سازی است. مدل‌های اغتشاشی برای مدل‌کردن این جمله توسعه یافته‌اند. در کار حاضر از مدل دومعادله‌ای  $k-\varepsilon$  Realizable که دارای ویژگی‌های جذابی در مدل‌سازی جریان‌هایی با کرنش بالا، تغییر مسیر شدید جریان، جریان‌های جدایشی و جریان‌های دورانی شدید است، استفاده شده است.

لازم به ذکر است که اصولاً مدل‌های اغتشاشی برای همه حالت‌ها به صورت عمومی نیستند و بنا به تغییر هندسه‌های مختلف، می‌باید تنظیم شوند و ضرایب مدل به صورت تجربی برای مسئله خاص استخراج شود.

### مدل اغتشاشی $k-\varepsilon$ Realizable

در این مدل دومعادله‌ای علاوه بر نوشتن یک معادله انتقال برای انرژی جنبشی آشفتگی،  $k$  یک معادله نیز برای نرخ اتلاف انرژی جنبشی،  $\varepsilon$  حل می‌شود. مزیت مدل‌های دومعادله‌ای در این است که از آن‌ها می‌توان برای پیش‌بینی خواص یک جریان آشفتنه بدون آگاهی از ساختار جریان آشفتنه یا هندسه آن استفاده کرد [31]. معادلات انتقالی مدل  $k-\varepsilon$  Realizable به صورت زیر بیان می‌شوند [32]:

یک افشانک این قابلیت را دارد که ساختارهای بزرگ‌مقیاس را که یکی از منابع تولید نویز در جت مافوق صوت هستند، به ساختارهای کوچک‌مقیاس تبدیل کند. علاوه بر این با نصب افشانک‌های بالادستی در هر موقعیت سمتی نویز پهن‌بند وابسته به موج ضربه‌ای کاهش می‌یابد.

همان‌طور که مشاهده شد، تمامی فعالیت‌های مرور شده در راستای شناخت بیشتر و بهتر منابع نویز تولیدی از جت مافوق صوت یا صوتی بوده است تا در راستای کاهش نویز تولیدشده با این وسایل قدمی برداشته شود. البته در پژوهش‌های انجام‌شده به امواج آکوستیکی برگشتی اشاره‌ای نشده است یا اگر هم این موضوع مورد تحقیق بوده باشد، به صورت انحصاری و محرمانه در اختیار شرکت‌های تجاری و نظامی بزرگ باقی مانده است. درحالی‌که این امواج و اختلالات آکوستیکی به سمت لبه‌های نازل و منطقه پشت آن منتشر و باعث نوعی خستگی به نام خستگی آکوستیکی می‌شود. این خستگی در بلندمدت باعث تخریب سازه‌ای نازل و تجهیزات پیرامونی می‌شود. همچنین این امواج بازگشتی می‌تواند به متخصصانی که در محیط کار با جت‌های مافوق صوت در ارتباط هستند آسیب‌های جدی مغزی-عصبی وارد کند. برای این منظور در کار عددی حاضر چندین میکروفون در فواصل و زوایای مختلف در پشت نازل صوتی مورد مطالعه تعبیه شده است تا سطح فشار صوت دریافت‌شده به وسیله این میکروفون‌ها در شرایط کاری مختلف نازل بررسی شود.

### معادلات حاکم و مدل‌سازی عددی

معادلات حاکم. معادلات حاکم بر جریان تراکم‌پذیر آشفتنه حاضر همان معادلات بقای جرم، مومنتوم و انرژی هستند. مطابق معمول به منظور مدل‌سازی جریان آشفتنه

$$U^* \equiv \sqrt{S_{ij}S_{ij} + \tilde{\Omega}_{ij}\tilde{\Omega}_{ij}} \quad (9)$$

$$\tilde{\Omega}_{ij} = \Omega_{ij} - 2\varepsilon_{ijk}\omega_k \quad (10)$$

$$\Omega_{ij} = \bar{\Omega}_{ij} - \varepsilon_{ijk}\omega_k \quad (11)$$

در روابط فوق  $\bar{\Omega}_{ij}$  تانسور متوسط سرعت چرخشی که در یک قاب با مرجع دایره‌ای به سرعت زاویه‌ای  $\omega_k$  است.  $C_\mu$  تابعی از نرخ کرنش متوسط،  $S_{ij}$  و نرخ چرخش است. ثابت‌های مدل  $A_0$  و  $A_\varepsilon$  از طریق روابط زیر استخراج می‌شود [32,33]:

$$A_0 = 4.04 \quad (12)$$

$$A_s = \sqrt{6} \cos \phi \quad (13)$$

که

$$\phi = \frac{1}{3} \cos^{-1}(\sqrt{6}W) \quad (14)$$

$$W = \frac{S_{ij}S_{jk}S_{ki}}{\tilde{S}^3} \quad (15)$$

$$\tilde{S} = \sqrt{S_{ij}S_{ij}} \quad (16)$$

$$S_{ij} = \frac{1}{2} \left( \frac{\partial u_j}{\partial x_i} + \frac{\partial u_i}{\partial x_j} \right) \quad (17)$$

سایر ثابت‌ها عبارت‌اند از [33]:

جدول ۱ تعیین ضرایب مدل  $k-\varepsilon$  Realizable [33].

$C_{1\varepsilon} = 1.44$	$C_2 = 1.9$	$\sigma_k = 1.0$	$\sigma_\varepsilon = 1.2$
---------------------------	-------------	------------------	----------------------------

مدل آشفتگی  $k-\varepsilon$ -Realizable نسبت به سایر مدل‌های RANS در جریان‌های بازگشتی پیچیده و در جریان لایه مرزی تحت گرادیان فشار معکوس یا جدایش نتایج بسیار بهتری به دست می‌دهد. همچنین به دلیل نبود دیواره در کار حاضر استفاده از این مدل از لحاظ هزینه محاسباتی و همگرایی بهتر نسبت به مدل‌های خانواده  $k-\omega$  ارجحیت دارد.

$$\begin{aligned} \frac{\partial}{\partial t}(\rho k) + \frac{\partial}{\partial x_j}(\rho k u_j) = \\ \frac{\partial}{\partial x_j} \left[ \left( \mu + \frac{\mu_t}{\sigma_k} \right) \frac{\partial k}{\partial x_j} \right] + \\ G_k + G_b - \rho\varepsilon - Y_M + S_k \end{aligned} \quad (2)$$

$$\begin{aligned} \frac{\partial}{\partial t}(\rho\varepsilon) + \frac{\partial}{\partial x_j}(\rho\varepsilon u_j) = \\ \frac{\partial}{\partial x_j} \left[ \left( \mu + \frac{\mu_t}{\sigma_\varepsilon} \right) \frac{\partial \varepsilon}{\partial x_j} \right] + \rho C_{1\varepsilon} S_\varepsilon - \\ \rho C_2 \frac{\varepsilon^2}{k + \sqrt{v\varepsilon}} + C_{1\varepsilon} \frac{\varepsilon}{k} C_{3\varepsilon} P_b + S_\varepsilon \end{aligned} \quad (3)$$

به طوری که:

$$C_1 = \max\left[0.43 \frac{\eta}{\eta + 5}\right] \quad (4)$$

$$\eta = S \frac{k}{\varepsilon} \quad (5)$$

$$S = \sqrt{2S_{ij}S_{ij}} \quad (6)$$

در معادلات بالا  $G_k$  نشان‌دهنده انرژی جنبشی آشفتگی با توجه به گرادیان سرعت متوسط است.  $G_b$  انرژی جنبشی ناشی از نیروهای شناوری است که در معادله استاندارد  $k-\varepsilon$  به دست می‌آید.  $Y_M$  سهم انبساط نوسانات در آشفتگی تراکم‌پذیر به نرخ کلی اتلاف است.  $C_2$  و  $C_{1\varepsilon}$  مقادیر ثابت هستند.  $\sigma_k$  و  $\sigma_\varepsilon$  اعداد پراوتل آشفتگی برای  $k$  و  $\varepsilon$  هستند.  $S_\varepsilon$  و  $S_k$  جمله‌های منبعی هستند که کاربر تعریف می‌کند. در روابط بالا  $\mu$  نشانگر لزجت مولکولی و  $\mu_t$  نشانگر لزجت اغتشاشی است [32]:

$$\mu_t = \rho C_\mu \frac{k^2}{\varepsilon} \quad (7)$$

به طوری که

$$C_\mu = \frac{1}{A_0 + A_s \frac{kU^*}{\varepsilon}} \quad (8)$$

## معادله حاکم بر میدان آکوستیکی

آکوستیک به معنای مطالعه صداهای ایجاد شده و انتشار آن‌ها در محیط است. این صداها ممکن است با یک جسم مرتعش یا در اثر عبور جریان سیال در محیط ایجاد شود [34]. صدای تولید شده با جریان در یک سیال نامحدود معمولاً صدای آبروآکوستیکی نامیده می‌شود. در بیشتر جریان‌های ناپایا در کاربردهای مهندسی که معمولاً دارای رینولدزهای بالا هستند در اثر حرکت ساختارهای آشفته، صوت تولید می‌شود. هرچند این صدای تولیدی بسیار کم باشد. در کار حاضر برای پیش‌بینی نویز در میدان نزدیک از روش انتگرالی (بر اساس آنالوژی آکوستیک لایت‌هیل) استفاده شده است. در این روش از میدان جریان به دست آمده در نزدیک جت که با حل معادلات حاکم و به کمک رویکرد اغتشاشی RANS گذرا حاصل شده است، برای حل انتگرالی تحلیلی معادلات موج و پیش‌بینی نویز استفاده می‌شود. در رویکرد آنالوژی آکوستیک انتشار صدا از تولید آن جدا شده است و در نتیجه فرایند حل جریان از تحلیل آکوستیکی آن جدا می‌شود [35]. فرمول‌بندی ویلیامز-هاوکنگز (FW-H) عمومی‌ترین شکل آنالوژی صوتی لایت‌هیل بوده و قادر به پیش‌بینی تولید نویز با منابع صوتی مشابه است.

معادله موج ویلیامز-هاوکنگز (FW-H) در واقع یک معادله موج ناهمگن است که بر اساس معادلات پیوستگی و ناویرا-ستوکس حاصل شده است. شکل دیفرانسیلی این معادله را می‌توان به صورت زیر نوشت [35]:

$$\frac{1}{a_0^2} \frac{\partial^2 p'}{\partial t^2} - \nabla^2 p' = \frac{\partial^2}{\partial x_i \partial x_j} \{T_{ij} H(f)\} - \frac{\partial}{\partial x_i} \{[p_{ij} n_j + \rho u_i (u_n - v_n)] \delta(f)\} + \frac{\partial}{\partial t} \{[\rho_0 v_n + \rho (u_n - v_n)] \delta(f)\} \quad (18)$$

که در آن  $u_i$  مؤلفه سرعت سیال در جهت  $x_i$ ،  $v_i$  مؤلفه سرعت صفحه در جهت  $x_i$ ،  $n$  نشانگر جهت عمود بر سطح،  $p'$  فشار صوت،  $a_0$  سرعت صوت متوسط،  $T_{ij}$  تانسور تنش لایت‌هیل،  $P_{ij}$  تانسور تنش فشاری، عملگر دلتای دیراک و  $H(f)$  تابع مرحله واحد است. با حل معادله انتقال فوق میدان نوسانات فشار در محیط حل به دست می‌آید. سپس سطح فشار صوت از طریق رابطه زیر برحسب دسی‌بل محاسبه خواهد شد [36]:

$$L_p = 20 \log \left( \frac{\tilde{p}}{2.10^{-5}} \right) \quad (19)$$

## دامنه حل و شبکه‌بندی میدان

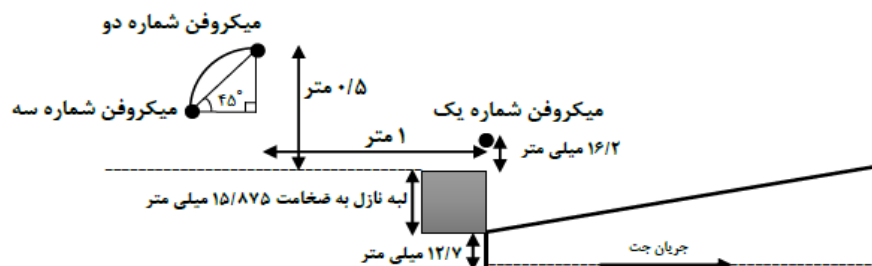
باتوجه به مطالعه آزمایشگاهی مرجع [13] نازل انتخابی دارای دهانه خروجی  $12.7 \text{ mm}$  و ضخامت لبه  $15.875 \text{ mm}$  است. طرح‌واره‌ای از هندسه مسئله و محل قرارگیری میکروفون‌ها در شکل (۲) نشان داده شده است. در این شکل محل قرارگیری میکروفون اول که در فاصله  $16.2 \text{ mm}$  بالای لبه نازل تعبیه شده مشخص است. میکروفن شماره یک برای بررسی سطح فشار صوت در میدان نزدیک و میکروفون‌های شماره دو و سه برای ثبت میزان آکوستیک برگشتی در نظر گرفته شده است.

در شکل (۳) شبکه محاسباتی تولید شده در اطراف دهانه خروجی نازل نشان داده شده است. دامنه محاسباتی یک محیط نیم‌دایره‌ای بوده که به خوبی تمامی نواحی اطراف نازل را پوشش داده است. باتوجه به تقارن موجود در مسئله، فقط نیمی از هندسه تولید شده و از شرط تقارن محوری برای مرز پایینی استفاده شده است. با انتخاب این شرط حلگر تأثیرات فیزیکی سه‌بعدی متقارن محوری روی شبکه دو بعدی را نیز در نظر می‌گیرد و بدین ترتیب موجب کاهش قابل ملاحظه حجم محاسبات می‌شود [35]. مطابق شکل دهانه

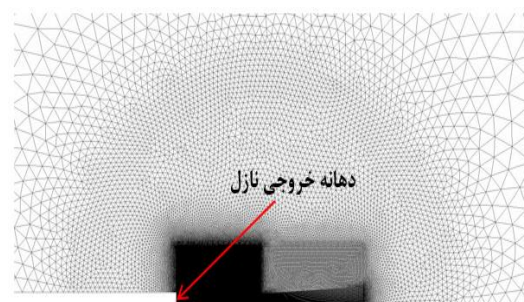
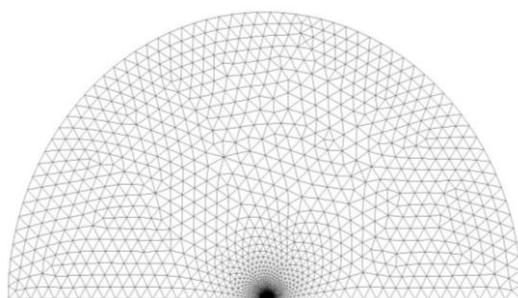


یک شبکه بدون سازمان با المان‌های سه‌وجهی تغییر می‌یابد. به منظور جلوگیری از انعکاس امواج آکوستیکی از مرزهای خروجی، این مرزها حدود ۵۰۰ برابر طول موج آکوستیکی از منبع تولید نویز فاصله دارند. همچنین با نزدیک شدن به مرزهای خروجی، از شبکه محاسباتی با اندازه بزرگ استفاده شده است تا امواج آکوستیکی منتشر شده به سمت مرزها با لزجت عددی به طور کامل تلف شوند.

خروجی نازل که در حقیقت مرز ورودی جریان به میدان محاسباتی است، در مرکز میدان حل قرار گرفته و ناحیه جلو و پشت نازل حدود ۱۰۰ برابر قطر نازل امتداد یافته است. در فضای پیش‌بینی شده برای جریان جت و نواحی اطراف آن به علت نیاز به دقت بیشتر، از شبکه سازمان‌یافته با المان‌های چهاروجهی منظم استفاده شده است. به این ترتیب پارامترهایی از قبیل آکوستیک برگشتی به سمت لبه نازل با دقت خوبی پیش‌بینی می‌شوند. با دور شدن از دهانه نازل شبکه محاسباتی به



شکل ۲ طرح‌واره‌ای از هندسه مسئله و محل قرارگیری میکروفون‌ها



شکل ۳ نمای جانبی از شبکه محاسباتی تولید شده در اطراف دهانه نازل. در تصویر سمت چپ کل دامنه محاسباتی مشاهده می‌شود. ناحیه پیش‌بینی شده برای جریان خروجی از دهانه نازل و اطراف جت جریان (میدان نزدیک) با شبکه‌بندی سازمان‌یافته و ناحیه میدان دور با شبکه بدون سازمان با المان‌های مثلثی پوشش داده شده است (تصویر سمت راست).

## روش حل عددی و شرایط مرزی

شبیه‌سازی‌های عددی حاضر با استفاده از نرم‌افزار تجاری Ansys Fluent ویرایش ۲۰۱۹ نسخه R2 انجام شده است. از آنجایی که معادله آکوستیک ویلیامز-هاوکینگز بر اساس فشار عمل می‌کند، حلگر استفاده‌شده برمبنای فشار است. همچنین کلیه شبیه‌سازی‌ها به صورت ناپایا و با استفاده از الگوریتم حل Coupled صورت گرفته است. برای گسسته‌سازی جملات جابه‌جایی در معادلات از روش Quick استفاده شده است که برای شبیه‌سازی جریان‌هایی که ورتیسیتی زیادی دارند، با حلگر فلونت توصیه می‌شود [33]. استفاده از این روش باعث می‌شود بر خلاف روش‌های مرتبه پایین، مقادیر عددی بیش از حد پراکنده یا میرا نشوند. همچنین گزینه معادلات آکوستیکی ویلیامز-هاوکینگز نیز در حلگر فعال شده و این معادلات با حلگر فلونت حل شده‌اند. بر اساس پژوهش آزمایشگاهی [13] جریان خروجی از نازل خفه بوده است و با سرعتی معادل عدد ماخ واحد به محیط وارد می‌شود. شرایط مرزی تنظیم‌شده در دهانه خروجی نازل که در حقیقت شرط مرزی ورودی مسئله حاضر است، از نوع فشار معلوم است. باتوجه به عدد ماخ جریان خروجی از دهانه نازل و روابط جریان آیزنتروپیک فشار استاتیک ۱۲۷۳۶۰ پاسکال و فشار کل ۲۴۲۴۹۶ پاسکال تنظیم می‌شود. فشار در مرز خروجی میدان هم باتوجه به پژوهش [13] ۱۰۰۰۰۰ پاسکال در نظر گرفته شده است. لازم به ذکر است به منظور دستیابی به نتایج قابل اعتماد در شبیه‌سازی جریان جت پرسرعت، مطابق پیشنهاد مرجع [33] ضرایب مدل اغتشاشی  $k-\epsilon$  Realizable به صورت زیر تنظیم می‌شود:

جدول ۲ تعیین ضرایب مدل  $k-\epsilon$  Realizable [33].

C2-Epsilon	TKE Prandtl Number	TDR Prandtl Number	Energy Prandtl Number
۲	۰٫۳	۰٫۳۷	۰٫۴۲

## نتایج و بحث

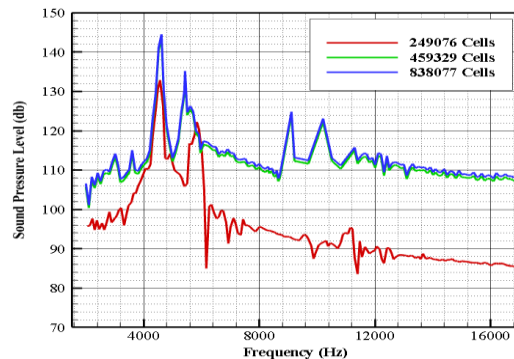
استقلال حل از شبکه محاسباتی و اعتبارسنجی نتایج به منظور بررسی استقلال حل از شبکه محاسباتی مسئله حاضر با ۳ شبکه درشت (۲۴۹۰۷۶ سلول)، متوسط (۴۵۹۳۲۹ سلول) و ریز (۸۳۸۰۷۷ سلول) شبیه‌سازی شده است. در شکل (۴) نمودار سطح فشار صوت ثبت شده در میکروفون شماره یک بر حسب بسامد برای ۳ شبکه مورد اشاره ترسیم شده است. باتوجه به نتایج، شبکه متوسط با ۴۵۹۳۲۹ المان بهترین شبکه برای ادامه فرایند حل است. مطابق شکل با افزایش تعداد المان‌ها به دو برابر قبل (استفاده از شبکه ریز) تغییر محسوسی در نتایج ایجاد نشده و تغییرات بسیار ناچیز است. باتوجه به شکل (۴) مشاهده می‌شود که تا قبل از ایجاد صدای ناهنجار (که به صورت یک قله مجزا در نمودار مشخص است) یک صدای افزایش‌یابنده از بسامد نزدیک به صفر تا ۳۰۰۰ هرتز شکل می‌گیرد. در این مدت جت در حال انبساط است. به این صدای تولیدشده نویز ناشی از اختلاط آشفته گفته می‌شود. سپس یک کاهش نویز که حاصل از شروع تداخل ساختارهای آشفته کوچک و بزرگ است روی می‌دهد و پس از کامل شدن ترکیب ساختارهای آشفته صدای ناهنجار (جیغ‌مانند) که همانند یک قله مجزاست، تولید می‌شود. سپس نویز پهن‌بند ناشی از موج ضربه‌ای شکل می‌گیرد که حاصل تشکیل شدن سلول‌های ضربه‌ای در میدان جریان جت است [8]. همان‌طور که در شکل (۴) پیداست، شبکه درشت نتوانسته است به درستی اختلاط ساختارهای بزرگ و کوچک مقیاس را با یکدیگر نشان دهد و از این رو یک افت شدید تا قبل از بسامد ۶۰۰۰ هرتز رخ می‌دهد که در سایر شبکه‌بندی‌ها به این صورت نیست. شبکه‌بندی‌های ریزتر به دلیل دارا بودن تعداد کافی المان در جلو نازل حلگر می‌تواند به خوبی میزان سطح فشار صوت در میدان نزدیک را تخمین بزند.

لازم به ذکر است شبیه‌سازی‌های حاضر در ۳ گام زمانی  $5 \times 10^{-6}$ ،  $10^{-6}$  و  $10^{-7}$  ثانیه انجام شده و استقلال حل از گام زمانی با مقادیر گزارش شده در مراجع مختلف [38,39] مطابقت دارد. اجرای این مسئله روی سیستم رایانه‌ای شامل ۸ پردازشگر محاسباتی با سرعت پردازش ۴ گیگاهرتز و ۱۶ گیگابایت حافظه داخلی، ۱۲ روز به طول انجامیده است.

### بررسی اثر دما روی ساختار جریان جت و امواج

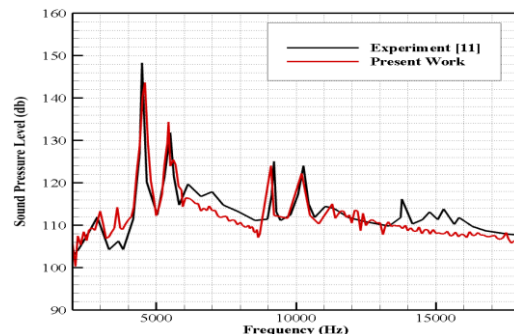
#### آکوستیکی

در این قسمت تأثیر دمای جت جریان بر میزان نویز میدان نزدیک و آکوستیک برگشتی بررسی شده است. برای این مقایسه دمای  $300\text{ K}$  که نشان‌دهنده جت سرد است، دمای  $450\text{ K}$  که نشان‌دهنده جت نیمه‌گرم است، دمای  $600\text{ K}$  که نشان‌دهنده جت گرم است و دمای  $750\text{ K}$  که نشان‌دهنده جت کاملاً گرم است برای شبیه‌سازی‌ها انتخاب شده است. در شکل (۶) کانتورهای عدد ماخ برای جریان در دماهای مختلف ترسیم شده است. مشاهده می‌شود که اثر دما تأثیر بسزایی در رشد لایه برشی و طول هسته پتانسیل دارد. به طوری که با افزایش دما، طول هسته پتانسیل کوتاه‌تر می‌شود. آن‌طور که پیداست دما نقش اساسی در اضمحلال سلول‌های ضربه‌ای ایفا نمی‌کند. در تمام حالات ۷ سلول ضربه‌ای قابل تشخیص است. افزایش دما پهنای سلول‌های ضربه‌ای را در لایه برشی جت تغییر می‌دهد و باعث کاهش آن می‌شود. در ضمن عدد ماخ در هسته سلول‌های ضربه‌ای نیز با افزایش دما افزایش پیدا کرده است که به خوبی می‌توان تأثیر آن را مشاهده کرد. با بررسی بیشتر این نکته مشخص می‌شود که وجود سلول ضربه‌ای در دمای بالا باعث افت کمتر سرعت در هسته سلول ضربه‌ای شده و فاصله بین قله عدد ماخ تا افت آن مقدار کمتری است. اما همچنان دمای بالا در جریان



شکل ۴ بررسی استقلال حل از شبکه محاسباتی

در شکل (۵) سطح فشار صوت ثبت شده در میکروفون اول با نتایج تجربی مرجع [13] مقایسه شده است. مطابق این شکل نتایج این شبیه‌سازی تطابق خوبی با داده‌های تجربی نشان می‌دهد؛ به طوری که مکان و دامنه قله‌های فشاری انطباق مناسبی با نتایج تجربی دارد. اندک اختلافات مشاهده شده به دقت شبکه محاسباتی و مدل‌های عددی استفاده شده بازمی‌گردد. به طور حتم استفاده از رویکرد اغتشاشی LES با دقت شبکه بسیار بالا (در حدود ۷۰ میلیون سلول [37]) ساختارهای اغتشاشی جریان و اندرکنش‌های امواج ضربه‌ای را با دقت بیشتری مدل می‌کند و پیش‌بینی‌های واقعی‌تری از نویز میدان دور و نزدیک به دست می‌دهد؛ اما با توجه به توان رایانه‌ای در دسترس و همچنین تطابق خوب بین نتایج عددی و تجربی (بر اساس شکل ۵) استفاده از رویکرد RANS گذرا و مدل آشفتگی k-ε Realizable انتخاب بهینه‌تری به نظر می‌رسد.

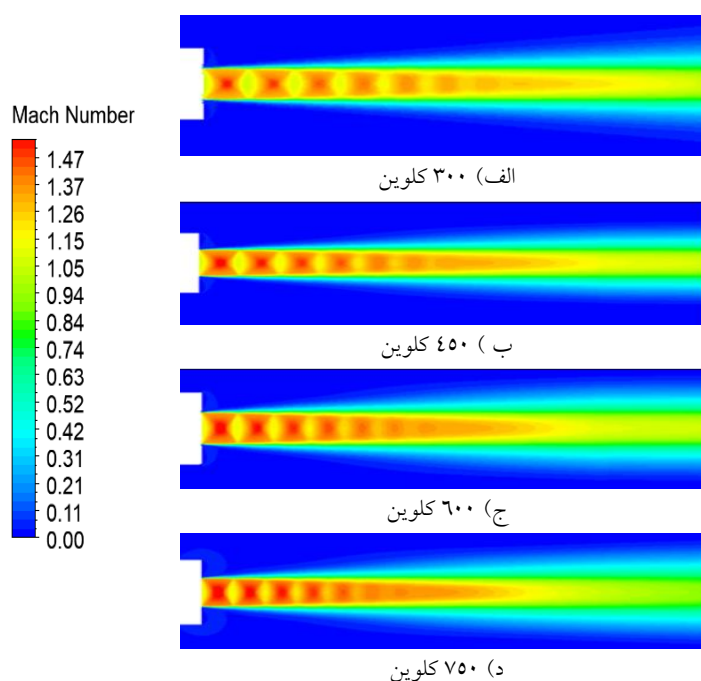


شکل ۵ مقایسه نتایج عددی حاضر و نتایج تجربی پونت و سینر [13]

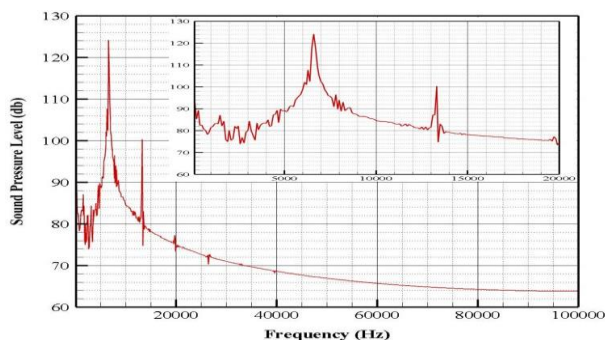
اساس پژوهش تام [8] در سمت چپ صدای ناهنجار، در بسامدهای پایین‌تر، نویز اختلاط آشفته مشاهده می‌شود که با توجه به آنچه تاکنون بیان شده است، در نتیجه نفوذ ناگهانی ساختارهای آشفته به درون هسته پتانسیل جت، در نزدیکی انتهای آن است.

جت باعث خواهد شد افت عدد ماخ در جت‌های نیمه‌گرم و گرم کمتر از جت سرد باشد [17,23,40].

شکل (۷) سطح فشار صوت برگشتی را برای جت سرد در فاصله یک‌متری از پشت نازل (میکروفون شماره ۲) نشان می‌دهد. همان‌طور که از این شکل پیداست، صدای ناهنجار در بسامد ۶۵۰۰ هرتز رخ داده است. بر

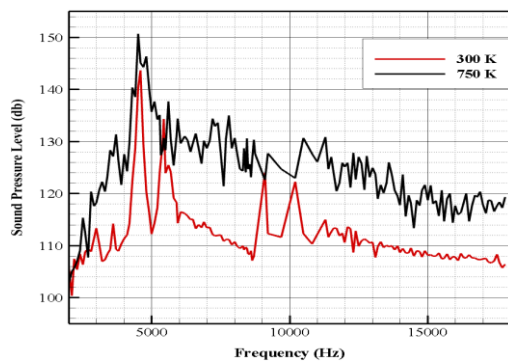


شکل ۶ هسته پتانسیل و لایه برشی تشکیل شده برای جت سرد، نیمه‌گرم، گرم و کاملاً گرم



شکل ۷ سطح فشار صوت برگشتی دریافت‌شده با میکروفن شماره ۲ قرارگرفته در فاصله یک‌متری از پشت نازل جت سرد

۳۰۰ کلوین (جت سرد) اختلاف سطح فشار صوت در بیشترین افت در حدود بسامد ۳۰۰۰ هرتز رخ می‌دهد و با قله اول سطح فشار صوت که در بسامد ۴۵۰۰ هرتز اتفاق می‌افتد ۳۴ دسی‌بل است؛ اما در جت گرم این اختلاف حدود ۲۸ دسی‌بل است. همچنین افزایش دمای جت سبب افت کمتر سطح فشار صوت شده چرا که میزان اختلاط لایه‌های آشفته را افزایش داده است. مطابق شکل، زمانی که دمای جت از سرد به کاملاً گرم تغییر می‌کند، تغییر مشخصی در مکان قله‌های صوتی رخ نمی‌دهد.



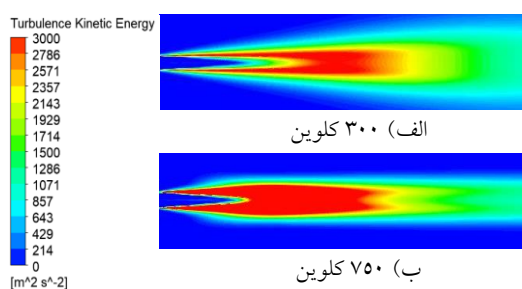
شکل ۸ سطح فشار صوت اندازه‌گیری شده برای جت سرد و خیلی گرم در میدان نزدیک با میکروفن شماره یک

شکل (۹) کانتور پارامتر ورتیسیته را برای جت سرد و جت کاملاً گرم نشان داده است. همان‌طور که مشاهده می‌شود افزایش دما باعث کاهش طول لایه برشی شده است که تجمع آشفته‌گی را در پی خواهد داشت؛ به طوری که مطابق شکل با افزایش دما ضخامت لایه برشی و سطح ورتیسیته جریان افزایش یافته است [22,24]. با افزایش دما و به دنبال آن افزایش لرزش، اختلاط بین جریان سرد محیط و جریان داغ هسته جت بیشتر شده است که این موضوع علاوه بر افزایش ضخامت لایه برشی، افزایش سطح فشار صوت حاصل از اختلاط آشفته را به دنبال دارد.

همچنین در سمت راست قله صوتی (صدای ناهنجار) نویز پهن‌بند ناشی از سلول ضربه‌ای مشاهده می‌شود که در بسامدهای بالاتری (حدود ۱۳۵۰۰ هرتز) رخ داده است و این‌طور می‌توان دریافت کرد که شدت نسبی هر ۳ مؤلفه نویز تابعی از جهت انتشار جت است. همچنین تعبیر دیگر این است که نه تنها اختلاط جریان در پشت نازل از اهمیت خاصی برخوردار است، بلکه برخلاف تصور سلول‌های ضربه‌ای نیز در صدای تولیدشده در پشت نازل مؤثر هستند. میکروفن قرارداده شده توانسته است این صدا را که به آن نویز پهن‌بند ناشی از موج ضربه‌ای گفته می‌شود نیز تا حدودی دریافت کند. از عواملی که باعث کاهش سطح فشار صوت می‌شود می‌توان به حضور ناپایداری کلوین-هلمهولتز در جریان اشاره کرد. این ناپایداری هیدرودینامیکی پایشدن جریان را تسریع می‌بخشد و باعث کاهش سطح فشار صوت در پشت نازل می‌شود، زیرا این ناپایداری سطح اختلاط جریان را در جلو نازل افزایش می‌دهد و به همین دلیل جریان اختلاطی در پشت نازل روند کاهشی به خود می‌گیرد [41].

شکل (۸) سطح فشار صوت میدان نزدیک (دریافت‌شده از میکروفن شماره یک) را برای ۲ دمای مختلف نشان می‌دهد. همان‌طور که مشخص است، با افزایش دمای جت، اغتشاش فشاری در محیط افزایش می‌یابد و سطح فشار صوت نیز بیشتر می‌شود. نکته دیگر آن است که هرچه دمای جت افزایش یابد، قله اول سطح فشار صوت ثبت‌شده که بیانگر صدای ناهنجار است، اختلاف کمتری با سطح فشار صوت در بسامدهای مجاور داشته و افت سطح فشار صوت کمتری نیز رخ داده است.

در این دما اثرات امواج ضربه‌ای تأثیر قوی‌تری در افزایش سطح فشار صوت در قله‌های صداهای پهن‌بند دارند. همچنین صدای حاصل از اختلاط آشفته نیز با افزایش دما افزایش یافته است؛ به طوری که در دمای



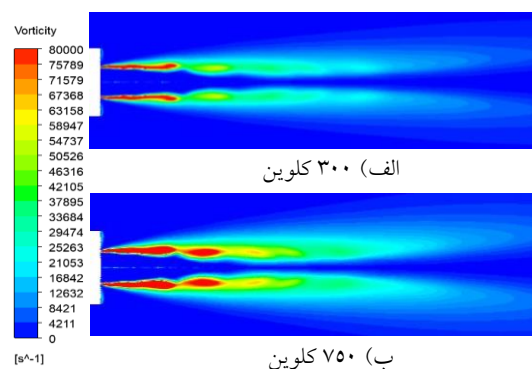
شکل ۱۰ میزان انرژی جنبشی آشفتگی در جت‌های سرد و کاملاً گرم

### امواج آکوستیکی برگشتی حاصل از اختلالات فشار در دماهای مختلف

شکل (۱۱) نوسانات فشاری را که همان امواج آکوستیکی هستند، برای شرایط دمایی مختلف در زمان پایاشدن جریان بررسی می‌کند. این تصاویر علاوه بر ناحیه اطراف جریان جت، منطقه‌ای به بزرگی ۸ برابر قطر نازل در پشت دهانه را نیز نشان می‌دهند. همان‌طور که در این شکل مشخص است، با افزایش دما میزان تولید نوسانات فشاری در پشت نازل (امواج آکوستیکی برگشتی) مقدار بیشتری به خود می‌گیرد.

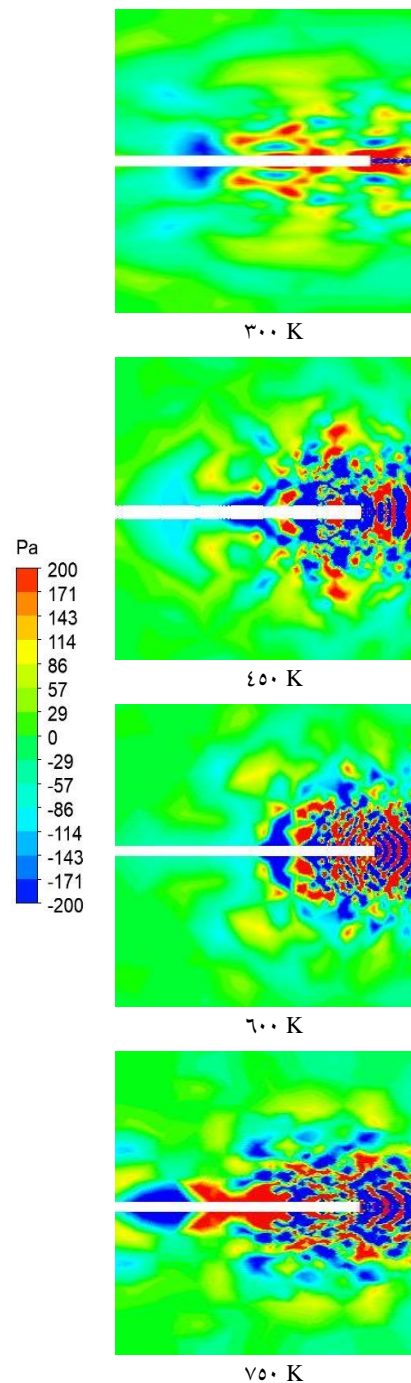
همان‌طور که مشخص است، با افزایش دما میزان ترکیب لایه‌های اختلاطی آشفتۀ بزرگ‌مقیاس و کوچک‌مقیاس افزایش یافته و نویز اختلاطی آشفتۀ همواره در پشت نازل غالب است؛ اما نویز پهن‌بند ناشی از موج ضربه‌ای نیز در قسمت‌های پشت نازل با توجه به آنچه پیش‌تر در شکل (۷) بحث شد حضور دارد. لازم به ذکر است که هرچه میزان ترکیب‌شدن لایه‌های اختلاطی افزایش یابد، نوسانات فشاری که در این حین رخ خواهد داد، بیشتر خواهد بود.

در شکل (۱۰) انرژی جنبشی آشفتگی برای جت سرد و جت کاملاً گرم بررسی شده است. مطابق پژوهش‌های گذشته انتظار می‌رود که میزان انرژی سینماتیکی آشفتگی در جت سرد با جت‌های نیمه‌گرم و گرم کاملاً متفاوت باشد [23,40] که این موضوع در شکل (۱۰) نیز مشهود است. مطابق این شکل در جت سرد لایه برشی بلندتری شکل می‌گیرد و ناحیه آشفتۀ در راستای عمود بر جریان نیز پهنای کوتاه‌تری دارد. در جت گرم آشفتگی در نزدیکی نازل مقدار بیشتری دارد. زمانی که دمای خروجی جریان به دمای محیط نزدیک باشد، جریان‌های آشفتۀ گردابی بزرگ و کوچک‌مقیاس با سرعت بیشتری با یکدیگر ترکیب می‌شوند و اندرکنش خاصی بین آن‌ها و محیط اتفاق نمی‌افتد و به این دلیل طول لایه برشی نیز افزایش می‌یابد و پهنای عمودی آن کم می‌شود؛ اما زمانی که دمای سیال خروجی از دهانه نازل اختلاف چشمگیری با دمای محیط بیرون دارد، اندرکنش بین جریان‌های بزرگ و کوچک‌مقیاس با محیط به بیشینه مقدار خود می‌رسد و این اتفاق در نزدیکی دهانه نازل روی خواهد داد. از این رو لایه برشی شکل‌گرفته طول کوتاه‌تری داشته است و به دلیل حجم اختلاط، عرض بزرگ‌تری پیدا می‌کند. به این صورت صدای تولیدشده به وسیله اختلاط آشفتۀ در جت گرم نسبت به جت سرد غالب می‌شود [42].



شکل ۹ جریان گردابی-لایه برشی آشفتۀ برای جت‌های سرد و کاملاً گرم

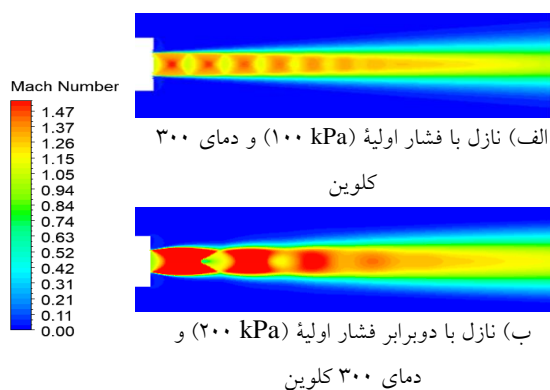
می‌دهد، نویز اختلاطی آشفته با افزایش هرچه بیشتر دما در پشت نازل همواره غالب میدان است. هر چند که در ادامه و حضور سلول‌های ضربه‌ای تأثیرات خود را بر نویز پهن‌بند ناشی از موج ضربه‌ای نشان می‌دهد؛ اما این نویز اختلاط آشفته است که عامل غالب در میزان نویز حاصل از جریان است. بر اساس شکل (۱۲) قله‌های به‌وجودآمده که در بسامد حدود ۶۲۰۰ هرتز برای جت سرد و بسامد در حدود ۷۲۰۰ هرتز برای جت خیلی گرم (در نمودار با علامت مشخص شده است.) مؤید حضور سلول‌های ضربه‌ای و نویز پهن‌بند ناشی از موج ضربه‌ای است. از بسامد ۳۰۰۰ تا ۸۰۰۰ هرتز در جت خیلی گرم اختلاط به‌قدری افزایش داشته که سطح فشار صوت افت محسوسی را تجربه نکرده و نویز اختلاط آشفته تماماً حتی با حضور سلول‌های ضربه‌ای عامل غالب در میزان نویز حاصل از جریان است. در شکل (۱۲) مشاهده می‌شود که در جت سرد افت سطح فشار صوت قبل از بسامد ۶۲۰۰ هرتز رخ داده و سپس یک قله صوتی هرچند با مقدار کم نسبت به جت گرم در بسامد ۷۲۰۰ هرتز تشکیل شده است؛ اما در جت گرم تا قبل از بسامد ذکرشده افت محسوسی در سطح فشار صوت رخ نمی‌دهد و این نشان‌دهنده آن است که با افزایش دمای جت اختلاط قوی‌تری در پشت نازل شکل گرفته است که به‌نظر می‌رسد نویز غالب در پشت نازل نویز پهن‌بند ناشی از موج ضربه‌ای باشد. در جت سرد سلول ضربه‌ای تشکیل‌شده تا حدودی اثر خود بر سطح فشار صوت را داشته و باعث به‌وجودآمدن نویز پهن‌بند ناشی از ضربه شده است که این اثر در قله به‌وجودآمده در بسامد حدود ۶۲۰۰ هرتز قابل مشاهده است.



شکل ۱۱ مقایسه نوسانات فشاری در پشت دهانه نازل برای جت‌های سرد تا خیلی گرم در لحظه پایاشدن جریان

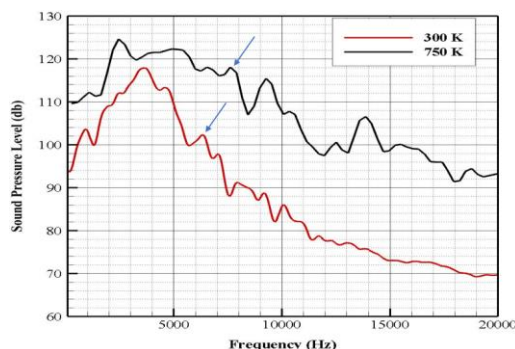
شکل (۱۲) سطح فشار صوت در پشت نازل را که با میکروفن شماره ۳ دریافت شده است، نشان می‌دهد. همان‌طور که مشخص است و شکل (۱۱) نیز نشان

دارای تعداد قله‌های کمتر اما با قدرت خیلی بیشتر است؛ همچنین فاصله بین قله‌ها بیشتر خواهد بود.



شکل ۱۳ هسته پتانسیل و لایه برشی حاصل از جریان جت در فشارهای مختلف

در شکل (۱۴) سطح فشار صوت دریافت شده در میکروفون شماره ۱ برای ۲ جت سرد با  $NPR=1$  و  $NPR=2$  برحسب بسامد نشان داده شده است. همان‌طور که پیداست با افزایش نسبت فشار نازل، سطح فشار صوت افزایش چشمگیری پیدا کرده و همچنین مکان قله‌های سطح فشار صوت نیز تغییر قابل ملاحظه‌ای داشته است. این به دلیل تعداد کمتر سلول‌های ضربه‌ای، قدرت بیشتر آن‌ها و همچنین پهنای بیشتر مختص به آن‌هاست. در جت سرد با  $NPR=2$  مقدار نویز اختلاطی تا قبل از قله اول به نسبت با جت سرد با  $NPR=1$  غلبه کمتری در میدان دارد و پس از ظهور اولین سلول ضربه‌ای قدرتمند در میدان جریان قله صوتی یا صدای جیغ‌مانند در میدان جریان غالب می‌شود. با هرچه پایاتر شدن جریان، سطح فشار صوت کاهش می‌یابد اما نویز پهن‌بند ناشی از موج ضربه‌ای در  $NPR=2$  نسبت به نویز اختلاط آشفته غالب میدان خواهد بود.



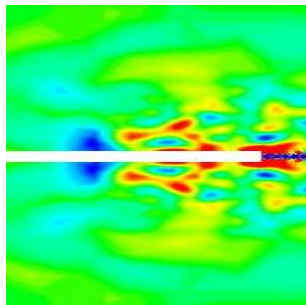
شکل ۱۲ سطح فشار صوت به دست آمده از میکروفن شماره ۳ که با زاویه ۴۵ درجه و فاصله یک‌متری از پشت نازل نصب شده است.

### بررسی اثر فشار روی ساختار جریان و امواج آکوستیکی

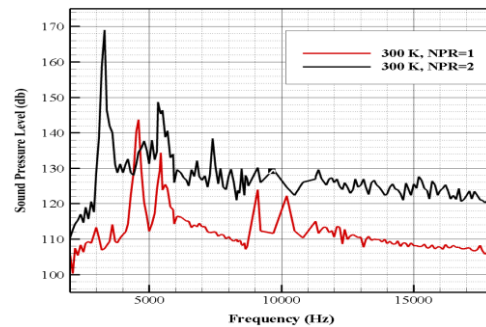
پارامتر مؤثر دیگری که روی سرعت جریان جت، خصوصیات جریان آشفته، ساختار امواج ضربه‌ای و نویز حاصل از میدان مؤثر است، فشار ورودی جت است. در این قسمت برای یک جت سرد (دمای 300 K) نسبت فشار نازل ( $NPR$ ) به دوبرابر مقدار اولیه تغییر کرده و اثرات آن بررسی شده است. شکل (۱۳) کانتور عدد ماخ برای ۲ جت سرد با ۲ نسبت فشار متفاوت را نشان می‌دهد. مطابق شکل در فشار بالاتر ( $NPR=2$ ) سلول ضربه‌ای و در فشار پایین‌تر ( $NPR=1$ ) سلول ضربه‌ای تشکیل شده است؛ اما طول هسته پتانسیل و لایه برشی تشکیل شده در  $NPR=2$  کمی بیشتر است. تفاوت اساسی دیگر، در سلول‌های ضربه‌ای قدرتمندی است که عدد ماخ آن‌ها در  $NPR=2$  بسیار بالاتر از جت با  $NPR=1$  است؛ همچنین پهنای سلول ضربه‌ای تشکیل شده نیز در جت با  $NPR=2$  بسیار بزرگ‌تر از جت با فشار کمتر است. همان‌طور که در شکل (۱۳) مشخص است، طول سلول‌های ضربه‌ای در نازل با  $NPR=2$  بسیار بیشتر است. بر اساس مطالب فوق می‌توان نتیجه گرفت که توزیع فشار در خط مرکزی جریان برای جت با  $NPR=2$



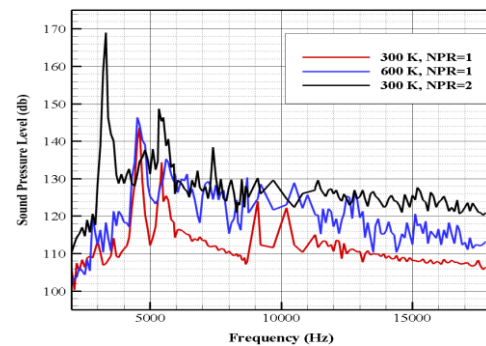
این شکل به منظور مقایسه بین تغییرات دما و فشار نوسانات فشار برای یک جت گرم با  $NPR=1$  نیز آورده شده است. این تصاویر علاوه بر ناحیه اطراف جریان جت، منطقه‌ای وسیع در پشت دهانه نازل را نیز نشان می‌دهد. همان‌طور که در این شکل مشخص است، زمانی که فشار نازل به دوبرابر مقدار اولیه خود می‌رسد، علاوه بر این‌که اختلاط جریان بیشتر می‌شود، سلول‌های ضربه‌ای قدرتمندی نیز باتوجه به شکل (۱۳) تشکیل می‌شوند که حضور این سلول‌های ضربه‌ای در جریان باعث خواهد شد نویز پهن‌بند ناشی از سلول ضربه‌ای از نویز اختلاطی آشفته پیشی بگیرد و غالب در میدان جریان باشد. اثر این سلول‌های ضربه‌ای در نازل با فشار دوبرابر مقدار اولیه به‌خوبی در شکل (۱۷) نشان داده شده است؛ در این شکل سطح فشار صوت برگشتی که در میکروفون شماره ۳ ثبت شده برای ۳ حالت مختلف مقایسه شده است. در جت سرد با  $NPR=2$  در بسامدهای ۲۴۰۰ و ۴۸۰۰ هرتز ۲ قله در سطح فشار صوت مشاهده می‌شود که اختلاف ناچیزی با یکدیگر دارند. همچنین قله‌های به‌وجودآمده در بسامدهای ۷۰۰۰ و ۱۰۰۰۰ هرتز نیز اختلاف زیادی از نظر مقدار دسی‌بل ندارند و این به‌دلیل حضور سلول‌های ضربه‌ای قدرتمند در جریان و غالب بودن نویز پهن‌بند ناشی از ضربه در جریان است.



الف) نسبت فشار نازل برابر ۱ و دما ۳۰۰ کلوین



شکل ۱۴ سطح فشار صوت برای جت سرد در ۲ نسبت فشار نازل متفاوت در میدان نزدیک (دریافت‌شده در میکروفن شماره ۱)



شکل ۱۵ مقایسه‌ای بین تأثیر افزایش دما و فشار روی سطح فشار صوت در میدان نزدیک (دریافت‌شده در میکروفن شماره ۱).

در شکل (۱۵) تأثیر افزایش فشار و دما روی نویز میدان نزدیک به‌طور هم‌زمان بررسی شده است. در میدان نزدیک نازل این نکته قابل درک است که با افزایش دوبرابری دمای جت از ۳۰۰ تا ۶۰۰ کلوین، میزان اختلاط جریان افزایش بیشتری دارد و نویز اختلاطی آشفته همواره عامل غالب در تولید نویز است؛ اما با افزایش دوبرابری فشار نازل، به‌دلیل وجود سلول‌های ضربه‌ای قدرتمندتر این نویز پهن‌بند ناشی از موج ضربه‌ای است که پس از صدای جیغ‌مانند، عامل غالب خواهد بود.

### امواج آکوستیکی برگشتی حاصل از اختلالات فشار در نسبت فشارهای مختلف

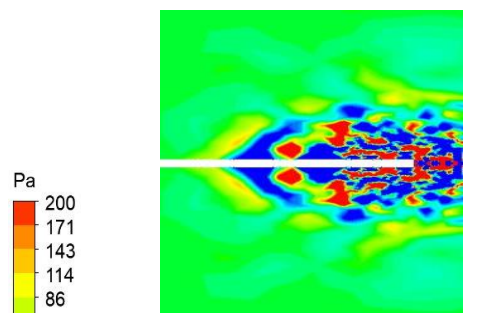
شکل (۱۶) کانتور نوسانات فشار را برای نسبت فشار نازل مختلف در زمان پایاشدن جریان بررسی می‌کند. در

جت جریان است. نتایج این پژوهش به صورت زیر دسته‌بندی شده‌اند:

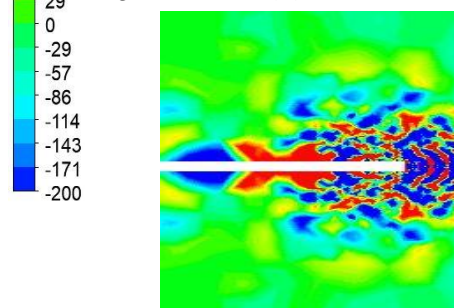
الف) با افزایش دما طول هسته پتانسیل و لایه برشی کوتاه‌تر می‌شود؛ اما افزایش دما تأثیری در تعداد سلول‌های ضربه‌ای به وجود آمده در جریان جت ندارد. البته با افزایش دمای جت جریان، تراکم انرژی آشفتگی در نزدیکی نازل بیشتر می‌شود و همچنین امواج آکوستیکی برگشتی قدرتمندتری شکل می‌گیرد. افزایش دما همچنین باعث شده است اختلاط ساختارهای آشفتنه بزرگ و کوچک مقیاس در جلو و پشت نازل افزایش یابد و نویز اختلاط آشفتنه در جت خیلی گرم نسبت به جت سرد مقدار بسیار بالاتری داشته باشد. نتایج حاضر نشان داد حضور سلول‌های ضربه‌ای در پلوم جت بر امواج آکوستیکی تولیدشده در پشت نازل نیز تأثیر دارد و باعث به وجود آمدن نویز پهن‌بند ناشی از سلول ضربه‌ای می‌شود.

ب) با دوبرابر شدن فشار کاری نازل تأثیر قابل توجهی در اندازه طول هسته پتانسیل و لایه برشی مشاهده نشده است؛ اثر افزایش فشار کاری نازل به دوبرابر مقدار اولیه خود باعث شده است تا تعداد سلول‌های ضربه‌ای تشکیل شده نسبت به جت سرد در شرایط اولیه کمتر شود. البته قدرت و پهنای هر سلول ضربه‌ای نیز نسبت به شرایط کاری اولیه افزایش قابل توجهی دارد. زمانی که فشار نازل به دوبرابر مقدار اولیه رسیده است، امواج آکوستیکی برگشتی به سمت لبه نازل نیز سطح فشار صوت بسیار بیشتری پیدا کرده است. این مقدار در فاصله یک‌متری از پشت نازل حدود ۱۴۸ دسی‌بل است که این مقدار برای هر موجود زنده‌ای آسیب‌زا است.

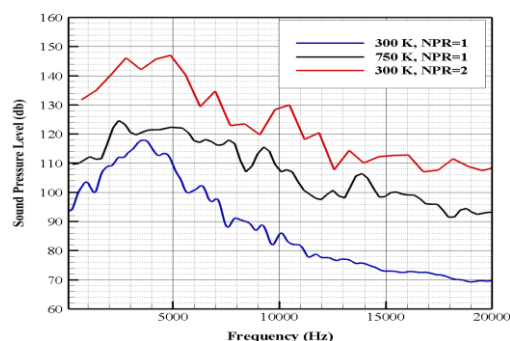
با شناسایی عوامل و منابع تولید امواج آکوستیکی از جمله آکوستیک برگشتی می‌توان در راستای کاهش نویز



ب) نسبت فشار نازل برابر ۲ و دما ۳۰۰ کلوین



ج) نسبت فشار نازل برابر ۱ و دما ۷۵۰ کلوین



شکل ۱۷ سطح فشار صوت به دست آمده با میکروفن شماره ۳ با زاویه ۴۵ درجه و فاصله یک‌متری از پشت نازل برای جت سرد در ۲ نسبت فشار و جت گرم در نسبت فشار یک

## نتیجه‌گیری

در این پژوهش یک نازل خفه‌شده و صدای به وجود آمده از آن به صورت تقارن محوری و با استفاده از رویکرد RANS گذرا و مدل آشفتگی  $k-\varepsilon$  Realizable شبیه‌سازی شده است. صدای حاصل از جت آشفتنه در میدان نزدیک نازل از طریق معادله ویلیامز-هاوکینگز تخمین زده شده است. هدف از انجام این پژوهش تمرکز بر پدیده آکوستیک بازگشتی و نویز میدان نزدیک ناشی از پلوم

تابعی از کرنش متوسط و نرخ چرخش	$C_{\mu}$
ثابت مدل k- $\epsilon$ Realizable	$C_2$
ثابت مدل k- $\epsilon$ Realizable	$C_{1\epsilon}$
انرژی جنبشی آشفتگی باتوجه به گرادیان سرعت متوسط	$G_k$
انرژی جنبشی آشفتگی ناشی از نیروهای شناوری	$G_b$
تابع مرحله واحد	$H(f)$
انرژی جنبشی آشفتگی، J	k
فشار، Pa	P
جمله منبع مدل k- $\epsilon$ Realizable	$S_k$
جمله منبع مدل k- $\epsilon$ Realizable	$S_{\epsilon}$
مؤلفه سرعت در راستای $i$ ، m/s	$u_i$
مؤلفه سرعت عمود بر صفحه $f=0$ ، m/s	$u_n$
مؤلفه سرعت صفحه در جهت $x_i$ ، m/s	$v_i$
مؤلفه سرعت صفحه‌ای در جهت عمود، m/s	$v_n$
سهم انبساط نوسانات در آشفتگی تراکم‌پذیر به نرخ کلی اتلاف	$Y_M$

علائم یونانی

چگالی، $kg/m^3$	$\rho$
تنش برشی، $N/m^2$	$\tau$
تنش‌های رینولدز	$\overline{\rho u_i u_j}$
نرخ اتلاف انرژی جنبشی	$\epsilon$
عدد پرانتل آشفتگی برای k	$\sigma_k$
عدد پرانتل آشفتگی برای $\epsilon$	$\sigma_{\epsilon}$
لزجت مولکولی، $kg/m.s$	$\mu$
لزجت اغتشاشی، $m^2/s$	$\mu_t$
تانسور متوسط سرعت چرخشی	$\bar{\omega}_{ij}$
عملگر دلتای دیراک	$\delta(f)$

زیر نویس

f سیال

بالا نویس

\* شرایط مرجع

ایجاد شده توسط جت‌های جریان که استفاده‌های گوناگونی در صنعت کنونی دارند، گام برداشت. یکی از عوامل تأثیرگذار بر ساختار جت جریان و امواج آکوستیکی بازگشتی ضخامت لبه نازل است که برای تحقیقات آتی می‌توان ضخامت‌های گوناگونی از لبه نازل را در دماهای مختلف بررسی کرد.

واژه‌نامه

Acoustic wave	موج صوتی
Broadband noise	نویز پهن باند
Chocked nozzle	نازل (شیپوره) خفه
Near field	میدان نزدیک
Noise	صدا
Noise pollution	آلودگی صوتی
Nozzle	نازل (شیپوره)
Over-expanded	فرو منبسط
Screech tone	صدای ناهنجار
Semi periodic	شبه متناوب
Shear layer	لایه‌ی برشی
Shock wave	موج ضربه‌ای
Sonic jet	جت صوتی
Sound pressure level	سطح فشار صوت
Turbulent mixing	اختلاط آشفته
Turbulent structure	ساختار آشفته
Under-expanded	فرا منبسط

علائم

علائم انگلیسی

ثابت مدل k- $\epsilon$ Realizable	$A_0$
ثابت مدل k- $\epsilon$ Realizable	$A_s$

## مراجع

1. White F.M., Majdalani J., "Viscous Fluid Flow", Forth Edition, McGraw-Hill LLC, New York, USA, pp. 375-381, (2021).
2. Falkovich G., "Fluid Mechanics: A Short Course for Physicists", Cambridge University Press, Cambridge, UK, (2011).
3. Kundu P.K., Cohen I.M., "Fluid Mechanics", Fourth Edition, Academic Press, Elsevier, Inc., Oxford, UK, pp. 381-388, (2008).
4. Emami S., Jafari H., Mahmoudi Y., "Effects of combustion model and chemical kinetics in numerical modeling of hydrogen-fueled dual-stage HVOF system", *Journal of Thermal Spray Technology*, Vol. 28, No. 3, pp. 333-345, (2019).
5. Munday D., Gutmark E., Liu J., Kailasanath K., "Flow structure and acoustics of supersonic jets from conical convergent-divergent nozzles", *Physics of Fluids*, Vol. 23, No. 11, pp. 116102, (2011).
6. Needham C.E., "Blast Waves", Springer-Verlag, Berlin Heidelberg, (2010).
7. Kleiner M., "Acoustics and Audio Technology", 3<sup>rd</sup> Edition, J. Ross Publishing, USA. (2011).
8. Tam C.K., "Supersonic jet noise", *Annual Review of Fluid Mechanics*, Vol. 27, pp. 17-43, (1995).
9. Schulze J., Sesterhenn J., Schmid P., Bogey C., de Cacqueray N., Berland J., Bailly C., "Numerical simulation of supersonic jet noise", In: Brun C., Juvé D., Manhart M., Munz CD. (eds) Numerical Simulation of Turbulent Flows and Noise Generation. Notes on Numerical Fluid Mechanics and Multidisciplinary Design, Vol 104. Springer, Berlin, Heidelberg, pp. 29-46, (2009).
10. Powell A., "On the mechanism of choked jet noise", *Proceedings of the Physical Society, Section B*, Vol. 66, No. 12, pp. 1039, (1953).
11. Morris P., "A model for the structure of jet turbulence as a source of noise", *12<sup>th</sup> Aerospace Sciences Meeting*, pp. 1, (1974).
12. Tam C.K., Tanna H., "Shock associated noise of supersonic jets from convergent-divergent nozzles", *Journal of Sound and Vibration*, Vol. 81, No. 3, pp. 337-358, (1982).
13. Ponton M., Seiner J., "The effects of nozzle exit lip thickness on plume resonance", *Journal of Sound and Vibration*, Vol. 154, No. 3, pp. 531-549, (1992).
14. Shen H., Tam C.K., "Numerical simulation of the generation of axisymmetric mode jet screech tones", *AIAA Journal*, Vol. 36, No. 10, pp. 1801-1807, (1998).
15. Khavaran A., Bridges J., "Modelling of fine-scale turbulence mixing noise", *Journal of Sound and Vibration*, Vol. 279, No. 3-5, pp. 1131-1154, (2005).
16. Bodony D., Ryu J., Ray P., Lele S., "Investigating broadband shock-associated noise of axisymmetric jets using large-eddy simulation", *12<sup>th</sup> AIAA/CEAS Aeroacoustics Conference (27th AIAA Aeroacoustics Conference)*, pp. 1216-1226, Cambridge, MA, USA, (2006).
17. Erwin J.P., Sinha N., "Near and far-field investigations of supersonic jet noise predictions using a coupled LES and FW-H equation method", *ASME 2011 Turbo Expo: Turbine Technical Conference and Exposition*, American Society of Mechanical Engineers, pp. 91-100, Vancouver, British Columbia, Canada, (2011).

18. Lo S.C., Aikens K., Blaisdell G., Lyrintzis A., "Numerical investigation of 3-D supersonic jet flows using large-eddy simulation", *International Journal of Aeroacoustics*, Vol. 11, No.7-8, pp. 783-812, (2012).
19. Schulze J., Sesterhenn J., "Optimal Control to Reduce Supersonic Jet Noise", In: Dillmann A., Heller G., Kreplin H.P., Nitsche W., Peltzer I. (eds) *New Results in Numerical and Experimental Fluid Mechanics VIII. Notes on Numerical Fluid Mechanics and Multidisciplinary Design*, Vol. 121, Springer, Berlin, Heidelberg, pp. 707-714, (2013).
20. Liu J., Corrigan A.T., Kailasanath K., Heeb N.S., Gutmark E.J., "Numerical study of noise sources characteristics in an underexpanded jet flow", *20<sup>th</sup> AIAA/CEAS Aeroacoustics Conference*, pp. 2604, Atlanta, GA, USA, (2014).
21. Liu J., Corrigan A.T., Kailasanath K., Heeb N.S., Gutmark E.J., "Numerical study of noise characteristics in overexpanded jet flows", *53<sup>rd</sup> AIAA Aerospace Sciences Meeting*, pp. 0508, Kissimmee, Florida, USA, (2015).
22. Gojon R., Bogey C., "Numerical study of the flow and the near acoustic fields of an underexpanded round free jet generating two screech tones", *International Journal of Aeroacoustics*, Vol. 16, No. 7-8, pp. 603-625, (2017).
23. Karnam A., Baier F., Gutmark E.J., Kailasanath K., "Flow measurement and acoustic investigation of high temperature rectangular jets", *2018 AIAA Aerospace Sciences Meeting*, pp. 0260, Kissimmee, Florida, USA, (2018).
24. Ayupov R.S., Benderskii L., Lyubimov D., "RANS/ILES analysis of the flow pattern and the acoustic characteristics of a supersonic off-design jet at large nozzle pressure ratios", *Fluid Dynamics*, Vol. 54, pp. 114-122, (2019).
25. Breen N.P., Ahuja K.K., "Supersonic jet noise source distributions", *AIAA Scitech 2020 Forum*, pp. 0497, Orlando, FL, USA, (2020).
۲۶. بهمن جهرمی، ایمان، قربانیان، کاوه، ابراهیمی، محمد، "مطالعه تجربی منابع تولید صوت در جت برخوردی مافوق صوت دما بالا به صفحه تخت در مراحل اولیه تشکیل جت"، *مهندسی مکانیک مدرس*، دوره ۱۷، شماره ۲، صفحه ۳۶۸-۳۵۹، (۱۳۹۶).
۲۷. افشاری، عباس، دهقان، علی اکبر، فرمانی، محمد، "بررسی نیمه تحلیلی نویز لبه فرار لایه مرزی آشفتگی با استفاده از اندازه‌گیری فشار ناپایای سطح"، *نشریه مهندسی مکانیک امیرکبیر*، دوره ۵۱، شماره ۶، صفحه ۱۲۷۰-۱۲۵۳، (۱۳۹۸).
۲۸. موحدی، علیرضا، دهقان، علی اکبر، دهقان منشادی، مجتبی، "پیش‌بینی نویز آیرودینامیکی دوردست از مدل ساختمان بلند استاندارد به کمک اندازه‌گیری ناپایای فشار سطحی"، *نشریه مهندسی مکانیک امیرکبیر*، دوره ۵۲، شماره ۷، صفحه ۱۹۰۴-۱۸۸۵، (۱۳۹۹).
29. Daniel K., Mayo D., Lowe K., Ng W., "Use of thermal nonuniformity to reduce supersonic jet noise", *AIAA Journal*, Vol. 57, No. 10, pp. 4467-4475, (2019).
30. Prasad C., Morris P., "Effect of fluid injection on turbulence and noise reduction of a supersonic jet", *Philosophical Transactions of the Royal Society A*, Vol. 377, No. 2159, pp. 20190082, (2019).
31. Wilcox, D.C. "Turbulence Modeling for CFD", 3<sup>rd</sup> Edition, La Canada, CA: DCW Industries, Inc, pp. 107-230, (2006).
32. Shih T.H., Liou W.W., Shabbir A., Yang Z., Zhu J., "A new k-e eddy viscosity model for high reynolds number turbulent flows", *Computers & Fluids*, Vol. 24, pp. 227-238, (1995).
33. Thies A.T., Tam C.K., "Computation of turbulent axisymmetric and nonaxisymmetric jet flows using the k-epsilon model", *AIAA Journal*, Vol. 34, No. 2, pp. 309-316, (1996).

34. Lighthill M.J., "On sound generated aerodynamically I. General theory", *Proceedings of the Royal Society of London. Series A. Mathematical and Physical Sciences*, Vol. 211, No. 1107, pp. 564-587, (1952).
35. Ansys Fluent Theory Guide, Release 15, ANSYS, Inc. pp. 361-369, (2013).
36. Kaltenbacher M., "Computational Acoustics", Springer, Cham, pp. 1-33, (2018).
37. Markesteijn A.P., Gryazev V., Karabasov S.A., Ayupov R.S., Benderskiy L.A., Lyubimov D.A., "Flow and noise predictions of coaxial jets", *AIAA Journal*, pp. 1-14, (2020).
38. Davison L., Horie Y., Graham R.A., "Shock Wave and High Pressure Phenomena", Springer Nature, Switzerland, (2008).
39. Naqavi I.Z., Wang Z.-N., Tucker P.G., Mahak M., Strange P., "Far-field noise prediction for jets using large-eddy simulation and Ffowcs Williams-Hawkings method", *International Journal of Aeroacoustics*, Vol. 15, No. 8, pp. 757-780, (2016).
40. Liu J., Corrigan A.T., Kailasanath K., Heeb N.S., Munday D.E., Gutmark E.J., "Computational study of shock-associated noise characteristics using LES", *19<sup>th</sup> AIAA/CEAS Aeroacoustics Conference*, pp. 2199, Berlin, Germany, (2013).
41. Nastro G., Fontane J., Joly L., "Optimal perturbations in viscous round jets subject to Kelvin-Helmholtz instability", *Journal of Fluid Mechanics*, Vol. 900, pp. 1-25, (2020).
42. Baier F., Karnam A., Gutmark E.J., Kailasanath K., "High temperature supersonic flow measurements of a rectangular jet exhausting over a flat surface", *2018 AIAA Aerospace Sciences Meeting*, pp. 0012, Kissimmee, Florida, USA, (2018).

## Numerical Prediction of Near-Field Noise and Return Acoustics from Sonic Jets in Different Operating Conditions

Ramin Khoshnevisan<sup>1</sup>, Sobhan Emami<sup>2</sup>

### 1. Introduction

Noise from a supersonic turbulent jet emitted from convergent or convergent-divergent nozzles has destructive effects on the environment, structures, and personals. Jet noise pollution is directly related to the turbulent flow structure. A deeper and better study of this complex structure leads to an understanding of the mechanisms and sources of noise generation in such devices. Turbulent jet flows include small and large-scale turbulent structures, both of which are capable of generating noise. Although the role of small-scale structures in noise generation is predominant in subsonic jets, but the role of large-scale structures becomes more important in supersonic jets; so that a significant part of the supersonic jet noise is directly due to the large turbulent structures resulting from the turbulent jet flow (turbulent mixing noise). In an imperfectly expanded supersonic jet, there are two additional shock-associated noise components. The first component, which has discrete frequencies, is called screech tones, and the second one is called broadband shock-associated noise. In this study, a choked nozzle and the resulting noise in the near field and behind the nozzle were studied and, the effect of operating parameters such as pressure and temperature of the flow on the noise generated by the turbulent jet were investigated.

### 2. Governing Equations and Numerical Methods

In the present case, the jet flow enters the surrounding ambient at the speed of sound through a converging nozzle with a diameter of 12.7 mm and a certain edge thickness. Figure 1 shows a schematic diagram of the problem geometry and position of the microphones. Microphone No. 1 was used to examine the sound pressure level in the near field and microphones No. 2 and 3 were considered to record the return acoustics.

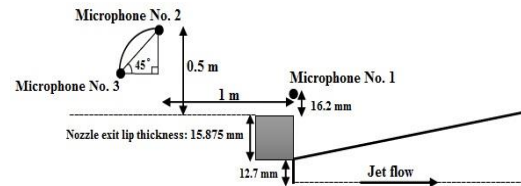


Figure 1. Schematic diagram of the problem geometry and position of the microphones

The sonic jet flow that enters the solution domain is unsteady and turbulent. Accordingly, the governing equations of the problem consist of the conservation equations of mass, momentum, and the energy alongside the ideal gas equation of state. These equations are solved for compressible axial symmetric flow. Turbulent flow was modeled using the  $k-\epsilon$  realizable turbulence model and integral method (based on Lighthill acoustic analogy) was used to predict near-field noise. The Ffowcs Williams-Hawkings (FW-H) formulation is the most common form of Lighthill acoustic analogy used in this study to predict noise.

Figure 2 shows the CFD mesh generated around the nozzle exit. According to the figure, the nozzle exit which is the inlet boundary of the flow to the computational domain, is located in the center of the domain. The upstream and downstream of the nozzle is extended about 100 times the diameter of the nozzle exit. In the space predicted for the jet flow and the surrounding areas, because of the need for higher accuracy, a structured grid with regular quadrilateral elements was used.

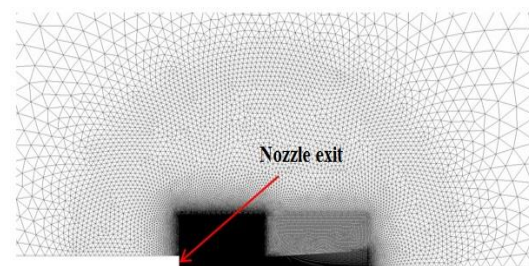


Figure 2. Side view of the computational grid generated around the nozzle exit.

### 3. Results and Discussion

The effects of temperature and pressure of the jet flow on the near-field noise and return acoustics were investigated. Temperatures of 300 K (cold jet), 450 K (semi-hot jet), 600 K (hot jet) and 750 K (fully hot jet) were investigated in the simulations. In the case of pressure, two nozzle

<sup>1</sup>. MSc Student, Department of Mechanical Engineering, Najafabad Branch, Islamic Azad University, Najafabad, Iran

<sup>2</sup>. Corresponding Author. Assistant Professor, Department of Mechanical Engineering, Najafabad Branch, Islamic Azad University, Najafabad, Iran. Email: sobhan@pmc.iaun.ac.ir

pressure ratios (NPR) were selected.

**Investigation of the Effect of Temperature on the Structure of Jet Flow and Acoustic Waves**

Figure 3 shows the near-field sound pressure level or SPL (received from microphone No. 1) for two different temperatures. As the jet temperature increases, the pressure fluctuations in the environment and also the sound pressure level increase. The difference between the first peak of the recorded SPL, which indicates a screech tone, and the SPL at adjacent frequencies decreased with increasing temperature and there is less sound pressure drop. According to the figure, when the temperature of the jet changes from cold to fully hot, there is no significant change in the frequency of the SPL peaks (screech tones).

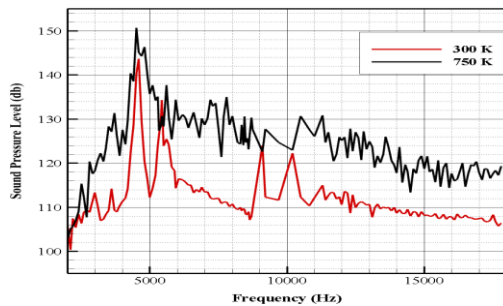


Figure 3. Sound pressure level recorded for a cold and very hot jet in the near field by microphone No. 1

**Investigation of the Effect of Pressure on the Structure of Flow and Acoustic Waves**

As the nozzle pressure ratio (NPR) increases, the number of shock cells formed in the jet plume decreases, but their strength and width increase. Figure 4 shows the SPL received in microphone No. 1 for two cold jets with nozzle pressure ratios of 1 and 2 in terms of frequency. As it is shown, with increasing the NPR, the sound pressure level increased significantly and also the position of the SPL peaks changed significantly.

Figure 5 compares the return sound pressure levels recorded in Microphone No. 3 for three different cases. According to the figure, the effect of nozzle pressure on the return acoustic level is greater than the effect of the temperature. The presence of shock cells in the jet plume also affects the acoustic waves emitted behind the nozzle and causes the shock cell-associated broadband noise.

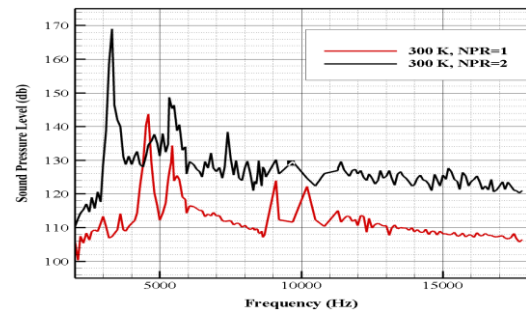


Figure 4. Sound pressure level for a cold jet at two different nozzle pressure ratios in the near-field (received in microphone No. 1)

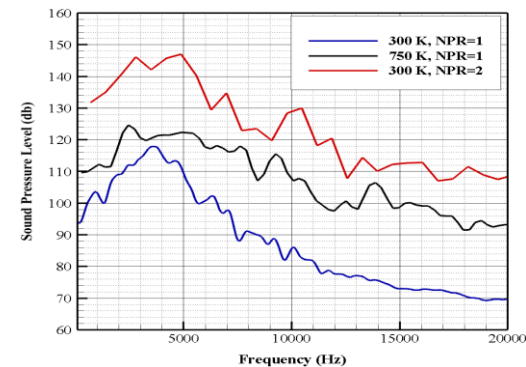


Figure 5. The sound pressure level obtained by microphone No. 3 with an angle of 45 degrees and a distance of one meter from the back of the nozzle for cold jet in two pressure ratios and hot jet in one pressure ratio

**4. Conclusion**

In this study, the effects of factors such as temperature and pressure of jet flow on the near field noise and return acoustics resulting from a sonic jet were investigated. Temperature change has significant effects on the shear layer and the length of the jet potential core. Noise recorded near the nozzle exit lip and behind the nozzle indicates that the presence of shock cells in the jet plume affects the acoustic waves propagate upstream. It causes broadband shock cell-associated noise. This noise is about 100 db for a cold jet at 300 K and about 105 db for a hot jet at 600 K. By increasing the nozzle pressure to twice the initial value, the recorded noise reached about 124 db.